

$$F(\theta) = \sum_{l=0}^N f_l(\theta) Q_l, \quad (9)$$

где коэффициенты  $Q_l$  выражаются через решение задачи (8).

На рис. 2, 3 приводятся посчитанные на ЭВМ диаграммы направленности.

На рис. 2 показана зависимость диаграммы направленности излучения из рупора с диэлектрическим заполнением внутри его раскрыва от величины мнимой части комплексной диэлектрической проницаемости, на рис. 3 — зависимость диаграммы направленности излучения из рупора без заполнения от величины угла раскрыва рупора.

#### ЛИТЕРАТУРА

- [1] Копенкин А. Д., Кураев А. А., Слепян А. Я. и др. // Радиотехн. и электроника. 1988. 33, № 10. С. 2022. [2] Моденов В. П., Абгалдаев С. И. // Межвузовский сб. научн. трудов «Автоматизированное проектирование устройств СВЧ». М., 1991. С. 120. [3] Свешников А. Г. // ДАН СССР. 1977. 236, № 5. С. 1076. [4] Митра Р., Ли С. Аналитические методы теории волноводов. М., 1974.

Поступила в редакцию  
20.10.92

ВЕСТН. МОСК. УН-ТА. СЕР. 3, ФИЗИКА. АСТРОНОМИЯ. 1993. Т. 34, № 5

УДК 534.26:535

#### КОЛЛИНЕАРНЫЙ АКУСТООПТИЧЕСКИЙ ФИЛЬТР С ГАУССОВСКИМИ ПУЧКАМИ СВЕТА И ЗВУКА

В. Н. Парыгин, И. Н. Жмакин, О. И. Медведков  
(кафедра физики колебаний)

Проводится теоретический анализ работы коллинеарного акустооптического фильтра, учитывающий дифракционную расходимость светового и звукового пучков. Описывается влияние расходимости на полосу пропускания и число элементов оптического изображения, которое может быть исследовано с помощью фильтра. Оценены параметры, при которых фильтр работает в оптимальном режиме.

Коллинеарные акустооптические фильтры [1—5] дают возможность осуществлять узкополосную фильтрацию световых пучков. Разрешающая способность таких фильтров определяется их длиной и разностью показателей преломления кристалла, используемого в фильтре, для двух одинаково направленных световых пучков, имеющих ортогональные поляризации.

Обычно применяются длинные и узкие кристаллы, позволяющие осуществлять эффективную фильтрацию при относительно небольших потребляемых акустических мощностях. В этих условиях описание световых и звуковых пучков как плоских волн становится несправедливым. Необходимо учитывать дифракционную расходимость пучков вдоль кристалла.

В данной работе проводится теоретический анализ дифракции гауссовского светового луча на коллинеарном ему гауссовском акустическом пучке. Учет конечной расходимости пучков позволяет оценить влияние поперечных размеров пучков на полосу пропускания фильтра и число элементов оптического изображения, которое может быть исследовано с помощью такого фильтра.

Пусть в анизотропной уругооптической среде вдоль оси  $z$  распространяется гауссовский звуковой пучок  $a(x, y, z, t)$  вида

$$a(x, y, z, t) = \frac{B}{1 - jDz} \exp \left\{ -\frac{x^2 + y^2}{R_i^2 (1 - jDz)} + j(\Omega t - Klz) \right\} + \text{к. с.}, \quad (1)$$

где  $B$  — амплитуда звуковых колебаний,  $D = 2l/KR_i^2 = \Lambda l/\pi R_i^2$  — величина, характеризующая расходимость звукового пучка на длине  $l$ ,  $l$  — длина акустооптического кристалла в направлении  $z$ ,  $R_i$  — радиус пьезопреобразователя, возбуждающего звук,  $\Omega$ ,  $K$  и  $\Lambda$  — частота звука, его волновое число и длина волны, к. с. — выражение, комплексно сопряженное с предыдущим.

Акустический пучок (1) вызывает в фотоупругой среде изменение тензора диэлектрической проницаемости  $\Delta\epsilon$ , пропорциональное амплитуде акустической волны. Временное и пространственное распределение  $\Delta\epsilon$  совпадает с (1).

Пусть падающий световой пучок распространяется в том же направлении  $z$  и имеет вид

$$E_i(x, y, z, t) = \frac{e_i E_0}{1 - jdz} \exp \left\{ -\frac{x^2 + y^2}{r_i^2 (1 - jdz)} + j(\omega_i t - k_i lz) \right\},$$

где  $E_0$ ,  $\omega_i$ ,  $k_i = \omega_i n_i/c$  — амплитуда, частота и волновое число падающего света,  $e_i$  — единичный вектор его поляризации,  $n_i$  — показатель преломления для света этой поляризации,  $r_i$  — радиус светового пучка при  $z=0$ ,  $d = 2l/k_i r_i^2$  — расходимость светового пучка. Радиус пучка на выходе фильтра равен  $r_{\text{out}} = r_i (1 + d)^{1/2}$ .

Коллинеарная дифракция света является анизотропным рассеянием, поэтому вектор поляризации дифрагированного света  $e_d$  ортогонален  $e_i$ . Показатель преломления дифрагированного света  $n_d$  отличается от  $n_i$ . Если  $n_d > n_i$ , то коллинеарная дифракция наблюдается лишь в  $+1$ -м порядке ( $k_i + K = k_d$ ), если  $n_d < n_i$  — то в  $-1$ -м ( $k_i - K = k_d$ ).

Рассмотрим дифракцию света в  $+1$ -м порядке. Световое поле в области взаимодействия может быть представлено в виде суммы двух пучков с различной поляризацией:

$$E = e_i E_i(x, y, z) \exp \{j(\omega_i t - k_i lz)\} + e_d E_d(x, y, z) \exp \{j(\omega_d t - k_d lz)\},$$

где  $\omega_d = \omega_i + \Omega$ ,  $k_d = k_i + K$  — частота и волновое число дифрагированного света,  $E_i$  и  $E_d$  — амплитуды прошедшего и дифрагированного пучков, имеющие сложное распределение по пространству. Для определения этого распределения воспользуемся методом, предложенным в [4].

Рассчитаем двумерный пространственный фурье-спектр звукового пучка (1) в плоскости  $z$ :

$$\begin{aligned} A(K_x, K_y, z) &= \iint_{-\infty}^{\infty} (1 - jDz)^{-1} \exp \left\{ -\frac{x^2 + y^2}{R_i^2 (1 - jDz)} - j(K_x x + K_y y) \right\} dx dy = \\ &= \pi R_i^2 \exp \left\{ -(K_x^2 + K_y^2) R_i^2 (1 - jDz)/4 \right\}. \end{aligned} \quad (2)$$

Фурье-спектры дифрагированного  $U_d$  и прошедшего  $U_i$  света связаны между собой следующими соотношениями [4]:

$$\begin{aligned} \frac{dU_d}{dz} &= j \frac{qt}{8\pi^2} \iint_{-\infty}^{\infty} A(K_x, K_y, z) U_i(k_{dx} - K_x, k_{dy} - K_y, z) \times \\ &\times \exp \{-i\eta lz\} dK_x dK_y, \end{aligned} \quad (3)$$

$$\frac{dU_t}{dz} = j \frac{ql}{8\pi^2} \int_{-\infty}^{\infty} A^*(K_x, K_y, z) U_d(k_{ix} + K_x, k_{iy} + K_y, z) \times \\ \times \exp\{j\eta lz\} dK_x dK_y,$$

где  $q = \mathbf{e}_d \Delta \text{se}_i k_i / 2n_i n_d$ ;  $\eta = k_t + K - k_d$

Будем искать решение системы уравнений (3) в виде рядов:

$$U_d = \sum_{n=0}^{\infty} (jq/l/2)^{2n+1} u_{2n+1}(k_{dx}, k_{dy}, z), \\ U_t = \sum_{n=0}^{\infty} (jq/l/2)^{2n} u_{2n}(k_{ix}, k_{iy}, z). \quad (4)$$

В качестве нулевого приближения используем фурье-спектр падающего света:

$$u_0 = \pi r_i^2 E_0 \exp\{-(k_{ix}^2 + k_{iy}^2) r_i^2 (1 - jdz)/4\}.$$

Подставляя это выражение, а также (2) в уравнение (3), получим

$$u_1 = \frac{r_i^2 E_0}{4\pi} \int_0^z \frac{\exp\{-j\eta/z_1\}}{(1 - jDz_1) + (r_i/R_i)^2 (1 - jdz_1)} \times \\ \times \exp\left\{-\frac{(k_{dx}^2 + k_{dy}^2) r_i^2}{4} \frac{(1 - jDz_1)(1 - jdz_1)}{(1 - jDz_1) + (r_i/R_i)^2 (1 - jdz_1)}\right\} dz_1.$$

Последовательно продолжая этот процесс, можно определить все члены рядов (4), которые после обратного преобразования Фурье дают возможность рассчитать амплитуды дифрагированного и прошедшего света как функции координат.

Амплитуда дифрагированного света оказывается равной

$$E_d = E_0 \sum_{n=0}^{\infty} (jq/l/2)^{2n+1} C_{2n+1}(x, y, z), \quad (5)$$

а для амплитуды прошедшего света имеем

$$E_t = E_0 \sum_{n=0}^{\infty} (jq/l/2)^{2n} C_{2n}(x, y, z), \quad (6)$$

где

$$C_0(x, y, z) = (1 - jdz)^{-1} \exp\left\{-\frac{x^2 + y^2}{r_i^2 (1 - jdz)}\right\}, \\ C_{2n+1}(x, y, z) = \int_0^z \frac{C_{2n}(x, y, z_1)}{1 - jDz_1} \exp\left\{-\frac{x^2 + y^2}{R_i^2 (1 - jDz_1)} - j\eta/z_1\right\} dz_1, \quad (7) \\ C_{2n}(x, y, z) = \int_0^z \frac{C_{2n-1}(x, y, z_1)}{1 + jDz_1} \exp\left\{-\frac{x^2 + y^2}{R_i^2 (1 + jDz_1)} + j\eta/z_1\right\} dz_1.$$

С помощью формул (7) можно вычислить все члены рядов (5) и (6), т. е. получить полное решение задачи. При рассмотрении вопроса о дифракции в  $-1$ -м порядке соотношения (5) и (6) сохраняют свой вид, но в формулах (7) необходимо заменить  $D$  на  $-D$ .

Нетрудно убедиться, что в предельном случае плоских волн  $r_i \rightarrow \infty$  и  $R_i \rightarrow \infty$  все функции  $C_n$  упрощаются и для  $\eta=0$  становятся равными  $C_n = z^n/n!$ . Ряды (5) и (6) при этом могут быть просуммированы и дают

$$E_a = E_0 \sin(qlz/2); \quad E_t = E_0 \cos(qlz/2).$$

Это стандартное решение для сильного взаимодействия плоских волн (см., напр., [4]).

Первый член ряда (5) описывает дифрагированный свет в линейном по звуку приближении слабого взаимодействия:

$$E_1 = j \frac{ql}{2} \int_0^z \frac{\exp\{-j\eta lz_1\}}{(1-jDz_1)(1-jdz_1)} \exp\left\{-\frac{x^2+y^2}{R_i^2(1-jDz_1)} - \frac{x^2+y^2}{r_i^2(1-jdz_1)}\right\} dz_1. \quad (8)$$

Расходимости светового и звукового пучков  $d$  и  $D$  входят в это выражение симметрично. Поэтому влияние этих расходимостей на дифрагированный свет почти эквивалентно. Выражение (8) записано для дифракции света в  $+1$ -м порядке. Амплитуда света, дифрагировавшего в  $-1$ -м порядке (при  $n_d < n_i$ ), имеет в первом приближении вид

$$E_{-1} = j \frac{ql}{2} \int_0^z \frac{\exp\{-j\eta lz_1\}}{(1+jDz_1)(1-jdz_1)} \times \exp\left\{-\frac{x^2+y^2}{R_i^2(1+jDz_1)} - \frac{x^2+y^2}{r_i^2(1-jdz_1)}\right\} dz_1.$$

При сравнимых поперечных размерах пучков света и звука,  $r_i \approx R_i$ , расходимость светового пучка  $d$  много меньше  $D$ . Однако для достаточно тонких световых пучков, когда  $r_i = R_i(K/k_i)^{1/2}$ , расходимости света и звука оказываются равными  $d=D$ . На рис. 1 изображены зависимости интенсивности света на выходе фильтра от  $D$  при различных параметрах расходимости светового пучка. Сплошные кривые относятся к случаю дифракции света в  $+1$ -м, а штриховые — к дифракции в  $-1$ -м порядке. Все кривые рассчитаны для точек, лежащих на оси звукового пучка ( $x=y=0$ ), и для оптимальных значений  $\eta_{opt}$ . Под  $\eta_{opt}$  понимается такое значение расстройки  $\eta$ , при котором интенсивность дифрагированного света на оси достигает максимального значения. В приближении плоских волн при  $d=D=0$  оптимальное значение  $\eta$  равно нулю, но при конечном радиусе  $R_i$  расстройка  $\eta_{opt}$  становится отличной от нуля. Если расходимость пучка света мала ( $d \leq 1$ ), интенсивности дифракции в  $+1$ -м и  $-1$ -м порядках практически совпадают. При больших  $d$  они различаются незначительно. Расходимость света снижает эффективность дифракции даже в случае плоской акустической волны ( $I_a < 1$  при  $d=1$  и  $D=0$ ). Из рис. 1 видно, что увеличение  $D$  и  $d$  уменьшает интенсивность дифрагированного света на оси пучка. Это уменьшение можно скомпенсировать соответствующим увеличением плотности акустической мощности  $q^2$ .

Полная акустическая мощность, излучаемая пьезопреобразователем,  $P_a$ , пропорциональна произведению плотности мощности на квадрат радиуса преобразователя. Зависимость  $P_a^{-1}$  от  $D$  для заданной интенсивности дифрагированного света, приведенная на рис. 2, показывает, что существует оптимальное значение  $D$ , при котором потребляемая фильтром мощность минимальна. При малой расходимости света оптимальное  $D$  близко к 3. Оно уменьшается с ростом  $d$ .

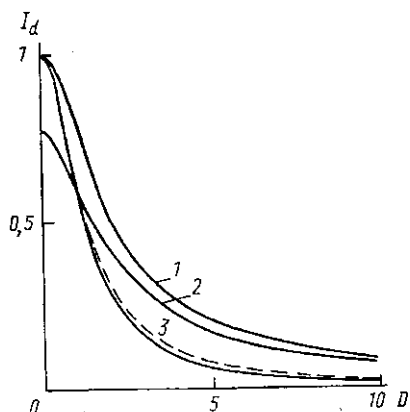


Рис. 1

Рис. 1. Зависимость интенсивности дифрагированного света на выходе фильтра от расходимости звука при различных параметрах расходимости светового пучка: сплошные линии — дифракция в +1-м порядке, штриховая — дифракция в -1-м порядке;  $d=0$  (1), 1 (2) и  $D$  (3)

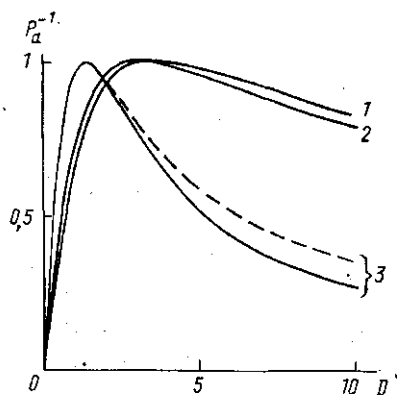


Рис. 2

Рис. 2. Зависимость величины, обратной акустической мощности, от расходимости звука: сплошные линии — дифракция в +1-м порядке, штриховая — дифракция в -1-м порядке;  $d=1$  (1), 0 (2) и  $D$  (3)

Важнейшей характеристикой акустооптического фильтра является его передаточная характеристика, т. е. зависимость пропускания фильтра от частоты падающего света. Эта зависимость приведена на рис. 3. Кривая, соответствующая взаимодействию плоских волн  $d=D=0$ , описывается функцией  $\text{sinc}^2(\eta l/2\pi)$ . Использование акустического пучка с конечным радиусом смещает максимум полосы пропускания фильтра вправо при дифракции в +1-м порядке или влево при дифракции в -1-м порядке. Одновременно с ростом  $D$  расширяется основной лепесток полосы пропускания фильтра и увеличиваются амплитуды боковых лепестков. Уменьшение радиуса светового пучка сопровождается дополнительным сдвигом максимума пропускания вправо, увеличением ширины основного лепестка полосы пропускания и ростом ее боковых лепестков. Из рис. 3 видно, что в пределах каустики пучков света и звука (при  $D \leq 1$  и  $d \leq 1$ ) искажения формы и ширины передаточной характеристики фильтра достаточно малы (кривые  $d=0, D=1$ ;  $d=D=1$  и  $d=1, D=-1$ ). Эти кривые соответствуют радиусам пучков  $R_{i0} = (2l/K)^{1/2}$  и  $r_{i0} \geq (2l/k_i)^{1/2}$ . Выход за пределы каустики, например вследствие уменьшения радиусов светового и звукового пучков, приводит к недопустимым искажениям передаточной характеристики фильтра ( $R_i = R_{i0}/2 - D=4$ ,  $r_i = r_{i0}/2 - d=4$ ). При переходе от дифракции в +1-м порядке к дифракции в -1-м форма кривой пропускания практически не меняется, но сдвиги центральной частоты, вызванные расходимостями света и звука, имеют разные знаки.

На рис. 4 приведена зависимость смещения центральной частоты фильтра от  $D$  для нескольких значений  $d$ . Сплошные кривые относятся к случаю дифракции света в  $+1$ -м порядке, пунктирные — к дифракции в  $-1$ -м порядке. Максимальное смещение центральной частоты фильтра равно половине ширины его полосы пропускания. Интересно отметить, что при дифракции в  $-1$ -м порядке и  $d=D$  смещения центральной частоты фильтра не происходит. Кривые, изображенные на

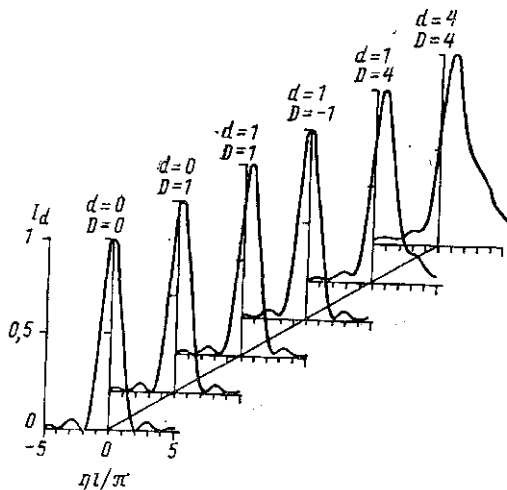


Рис. 3

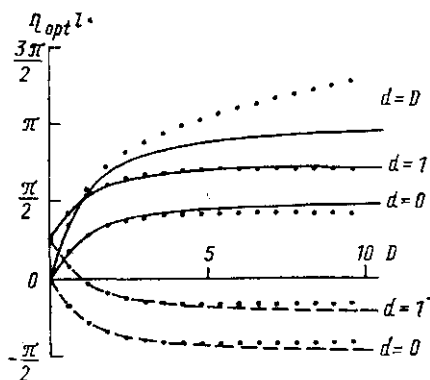


Рис. 4

Рис. 3. Передаточная характеристика акустооптического фильтра при различных параметрах расходимости света и звука

Рис. 4. Зависимость смещения центральной частоты фильтра от расходимости звука: точки — максимумы передаточных характеристик, сплошные линии — аппроксимация по формуле  $\eta_{opt}^l = \arctg d + \arctg D$ , штриховые — аппроксимация по формуле  $\eta_{opt}^l = \arctg d - \arctg D$ .

рис. 4, при малых расходимостях ( $D, d \leq 2$ ) могут быть приближенно аппроксимированы зависимостями  $\eta_{opt}^l = \arctg d + \arctg D$  для дифракции в  $+1$ -м порядке и  $\eta_{opt}^l = \arctg d - \arctg D$  для дифракции в  $-1$ -м порядке.

Используя соотношения (5), (6) и (7), можно рассчитать интенсивность дифрагированного света при большой эффективности дифракции. При этом форма передаточной характеристики фильтра не отличается от полученной в приближении слабого взаимодействия. Однако уровень боковых лепестков при сильном взаимодействии повышается в  $[\text{sinc}(ql/2\pi)]^{-2}$  раз, где  $ql$  — величина, определяющая максимальное пропускание фильтра при сильном взаимодействии.

Поперечное распределение света в дифрагированном пучке определяется соотношением радиусов  $R_i$  и  $r_i$ . При  $r_i < R_i$  радиус дифрагированного пучка практически совпадает с  $r_i$ , а при  $R_i < r_i$  он близок к радиусу звукового пучка. Характер распределения подобен гауссовскому. При анализе вопроса о числе элементов оптического изображения, которое может быть пропущено через коллинеарный акустооптический фильтр, следует исходить из того, что минимальный размер оптического канала для каждого элемента изображения должен иметь радиус  $r_{i0} = (\lambda l / \pi)^{1/2}$  и площадь  $\lambda l$ . Таким образом, полное число элементов пе-

редаваемого через фильтр изображений не может быть больше  $\pi R_i^2/\lambda$ . При оптимальном для фильтра радиусе  $R_i=R_{i0}$  полное число передаваемых фильтром элементов изображения равно  $\Lambda/\lambda$ .

Проведенное исследование позволяет сделать следующие выводы.

1. Использование в коллинеарном фильтре светового и звукового пучков конечного радиуса сопровождается смещением центральной частоты фильтра. Это смещение необходимо учитывать при работе спектрографа.

2. Существует оптимальное соотношение между длиной фильтра и радиусом его поперечного сечения, при котором потребляемая фильтром акустическая мощность минимальна, а искажения формы передаточной характеристики незначительны.

3. Максимальное число элементов оптического изображения, которое может быть передано через коллинеарный фильтр без искажений его передаточной характеристики, пропорционально квадрату радиуса звукового пучка и обратно пропорционально длине фильтра.

#### ЛИТЕРАТУРА

- [1] Harris S., Wallace R.//J. Opt. Soc. Am. 1969. 59, N 6. P. 744.  
[2] Chang I.//Appl. Phys. Lett. 1976. 90. P. 12. [3] Волошинов В. Б., Парыгин В. Н.//Вестн. Моск. ун-та. Физ. Астрон. 1980. 21, № 2. С. 90. [4] Балакший В. И., Парыгин В. Н., Чирков Л. Е. Физические основы акустооптики. М., 1985. [5] Магдич Л. Н.//Изв. АН СССР, сер. физ. 1980. 44, № 8. С. 1683.

Поступила в редакцию  
06.10.92

ВЕСТН. МОСК. УН-ТА. СЕР. 3, ФИЗИКА. АСТРОНОМИЯ. 1993. Т. 34, № 5

УДК 533.951

#### НЕЛИНЕЙНАЯ ЛЕНГМЮРОВСКАЯ ВОЛНА: КИНЕТИЧЕСКАЯ ТЕОРИЯ И АСИМПТОТИКИ

А. Н. Гапоненко, Л. С. Кузьменков, О. О. Трубачев  
(кафедра теоретической физики)

Численно исследовано поведение нелинейного сдвига частоты, амплитуд второй и третьей гармоник в кубическом по полю волны приближении в релятивистской максвелловской плазме. Указана область применимости низкотемпературных асимптотик для исследуемых величин. Обнаружено, что для волн с фазовой скоростью, близкой к скорости света, хорошее приближение дает холодная гидродинамика.

Нелинейные ленгмюровские волны, впервые исследованные в [1], вновь привлекли интерес в связи с появившимися возможностями их экспериментального изучения [2] и вероятными приложениями (например, плазменное ускорение частиц, см. [3]).

В [4] рассмотрены эти волны для случая слабой нелинейности с учетом конечной температуры плазмы и релятивистской динамики частиц. Влияние захваченных частиц не учитывалось. Получены выражения для нелинейного сдвига частоты, амплитуд второй и третьей гармоник. Предсказано явление «кинетического резонанса»: обращение в нуль нелинейного сдвига частоты при определенных соотношениях между температурой плазмы и фазовой скоростью волны, которое может привести к заметному увеличению максимально достижимой ам-